
 論 文

大韓造船學會誌
 第19卷 第4號 1982年 12月
 Journal of the Society of
 Naval Architects of Korea
 Vol. 19, No. 4, December 1982

6만 DWT 散積貨物船 模型船—實船 相關解析

梁 承 一* · 李 昶 燮* · 金 恩 燦*

Correlation Analysis of Model Tests with Ship Powering Data for a 60,000 DWT Bulk Carrier

by

Seung-Il Yang* · Chang-Sup Lee* · Eun-Chan Kim*

Abstract

The hydrodynamic effects on resistance and propulsive performance were studied by using the data from model test and full scale speed trials. A series of model tests on 3 geosims for a 60,000 DWT Bulk Carrier was conducted at KIMM's Ship Experimental Towing Tank and the results analyzed by 1978 ITTC Performance Prediction Method show the correlation between 3 geosim models. Also powering data of full scale speed trials were analyzed by the newly developed computer program and the correlation analysis between ship and model was studied.

1. 序 言

船舶基本設計 단계에서 설계선형의推進성능을精度 높게 추정하기 위해서 曳引水槽에서의 模型試驗이 이용되고 있다. 이를 위하여는 模型試驗技法 및 結果解析方法, 實船試運轉技法 및 解析方法, 模型船—實船 尺度效果 및 相關解析, Sea Margin등에 관한 체계적 연구가 뒷받침되어야 한다. 본 연구에서는 6만톤급 散積貨物船에 대한 模型선—模型선의 관계와 模型선—實船선의 관계를 통하여 模型試驗과 實船速力試運轉의 결과해석방법과 함께 模型선—實船 尺度效果에 대한 相關해석방법을 검토하여 보았다. 이 6만톤급 散積貨物船은 國內造船所에서 개발한 선형으로 여러척의 실선속력시운전 결과와 함께 독일의 HSVA수조에서의 모형시험 결과를 갖고있다. 여기에서 이용한 자료로서는 國內造船所에서 이루어진 5척의 실선속력시운전 결과와 HSVA수조의 1/31 모형선시험 결과 그리고, 韓國機械研究所 大德船舶分所(SRS-KIMM) 水槽의 1/25,

1/50, 1/75 모형선의 실험결과를 사용하였으며, 선박의 주요 제원은 Table 1에 보인다.

2. 模型試驗

SRS-KIMM 水槽에서 실험을 수행한 3가지 모형선의 상대별 레이놀드數는 Table 2와 같다. 1/25모형(8,6m)은 모형선과 프로펠러에서 모두 현저한 척도효과(Scale Effect)를 피하고 모형주위의 흐름을 亂流로 만들어 주기에 충분한 레이놀드數를 얻을 수 있는 크기이고, 1/50 모형(4.3m)은 척도효과와 난류상태를 고려할 때 최소한의 레이놀드數를 얻게되는 크기이며, 1/75 모형(2,867m)은 中型水槽에서 위벽효과(Blockage Effect)등을 고려하여 일반적으로 사용되고 있는 크기이다.

船型에 있어서는 모든 모형선과 실선이 모두 기하학적으로 동일하나, 프로펠러에 있어서는 실선에 3가지 프로펠러가 적용되었으나 그 가운데 60A船舶의 프로펠러에 대한 모형을 만들어 SRS-KIMM 수조에서 모형시험을 수행하였다. 한편 HSVA수조에서는 별개의 제

接受日字: 1982年 6月 26日, 再接受日字: 1982年 11月 30日

* 正會員, 韓國機械研究所 大德船舶分所

Table 1. Comparison of Principal Characteristics

Test	Model Test*				Full Scale Speed Trial				
	Full Load		Ballast		Ballast				
Condition	KIMM	HSVA	KIMM	HSVA	60A	60B	60C	60D	60E
Hull Form	KIMM	HSVA	KIMM	HSVA	60A	60B	60C	60D	60E
Lpp (m)	215.00								
B (m)	32.20								
d, FP(m)	11.805		4.682		4.680	4.695	4.685	4.746	4.846
AP(m)	13.103		7.307		7.300	7.407	7.335	7.085	7.133
Mean(m)	12.454		5.995		5.990	6.051	6.010	5.916	5.990
Displt. (m ³)	71050		32920		33011	33363	33126	32520	32914
Dia. (m)	5.840	6.006	5.840	6.006	5.840	6.000		6.000	
P/D, 0.7R (m)	0.6695	0.684	0.6695	0.684	0.6695	0.6933		0.7062	
A _E /A _o	0.590	0.680	0.590	0.680	0.590	—		—	
Z	5								

* Dimensions for model test are expanded into full scale values.

Table 2. Comparison of Reynolds Number for Model Scale and Full Scale

Scale	Full Scale (10 ⁻⁸)	Model Scale (10 ⁻⁶)			
		1/1	1/25	1/50	1/75
Reynolds No.					
Ship Rn. at Resistance Test	7.8~19.4 (8.0~20.0knots)	6.9~17.3 (0.823~2.058m/s)	2.0~5.1 (0.582~1.455m/s)	1.1~2.8 (0.475~1.188m/s)	
Ship Rn. at Propulsion Test	10.7~16.5 (11.0~17.0knots)	9.5~14.7 (1.132~1.749m/s)	2.8~4.3 (0.800~1.237m/s)	—	
Propeller Rn. at Propeller Open-Water Test	19.4 (1.9 rps)	0.428 (15.0 rps)	0.243 (35.0 rps)	0.110 (35.0 rps)	

코프로펠러 (Stock Propeller) 로 수행하였다.

SRS-KIMM 수조의 모형선은 마디카 목재로 제작되었고, 그 표면은 Urethane Varnish로 도장되었다. 모형선의 난류속진장치로서는 선수 19.5 st.에 직경 3mm의 못(Cylindrical Studs)을 25mm의 등간격으로 높이가 2.5mm가 되도록 취부하였다. 모형프로펠러는 알루미늄으로 제작되었는데, 난류속진장치는 취부하지 않았다.

각종 모형시험은 Table 2와 같이 수행되었으며 1/75 모형프로펠러에 대한 단독시험도 수행하기는 하였으나 그 계측치들이 保有 動力計의 용량과 프로펠러 軸의 마찰에 비해 너무 적고, 레이놀드數가 너무 작은데 기인하는 오차 등으로 인하여 이에 대한 검토는 하지 않았으며 아울러 自航推進시험도 수행하지 않았다.

抵抗시험은 Yawing과 Swaying이 제한된 상태에서 시

Table 3. Calculation of Form Factor k

Method	Condition	Model	KSO42	KSO43	KSO44
			1/25	1/50	1/75
'81 ITTC (with Min. Standard Deviation)	Full Load	n	8.00	8.00	8.00
		k	0.239	0.212	0.422
	Ballast	n	4.50	6.00	7.00
		k	0.347	0.394	0.316
Prohaska (with n=4)	Full Load	n	4.00	4.00	4.00
		k	0.166	0.169	0.393
	Ballast	n	4.00	4.00	4.00
		k	0.337	0.382	0.304

浮心위치에서의曳引力을 모형선의全抵抗으로 간주하였고, 自航推進시험은 저항시험과 동일한 상태에서 英國式 방법으로 수행하였다. 모든 모형선에 대해 위벽 효과는 무시할 수 있을 만큼 작다고 생각되어 고려하지 않았다.

3. 模型船—模型船 相關 解析

3.1. 抵抗性能 해석

저항시험 결과해석은 1957 ITTC 模型船—實船 相關 曲線을 사용하여 Froude해석법과 Hughes 해석법을 각각 적용하여 수행하였다. Fig. 1에는 1/25, 1/50, 1/75 모형선의 Full Load 상태에 대한 잉여저항계수 C_R 와 조파저항계수 C_W 를 함께 도시하였다. Fig. 2는 Ballast 상태에 대한 것이다. 한편 Hughes 해석법 가운데 형상 영향계수 k 는 다음과 같이 1981 ITTC방법으로 구하였다[5].

$$\frac{C_{TM}}{C_{FM}} = (1+k) + y \cdot \frac{F_n^n}{C_{FM}} \quad (1)$$

즉, (F_n^n/C_{FM}) 을 횡축으로하고 (C_{TM}/C_{FM}) 을 종축으로 하여 저항시험 결과를 Plotting 한 후 Froude수가 0.1~0.2범위의 값들을 最小 自乘法을 사용하여 직선

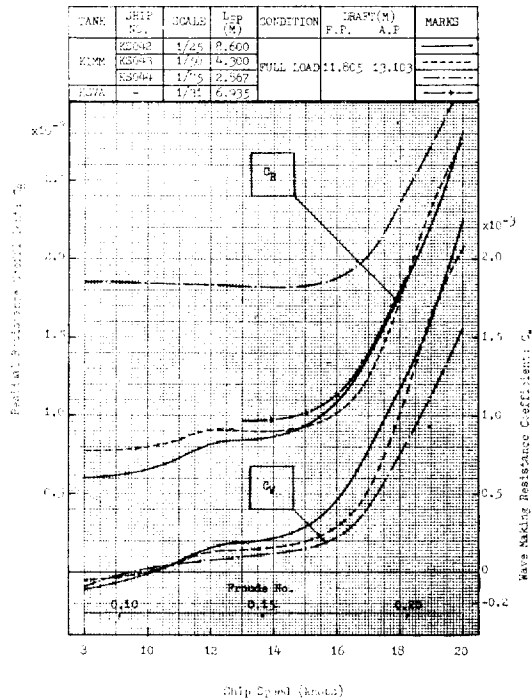


Fig. 1. Residual and Wave Making Resistance Coefficients for Full Load Condition

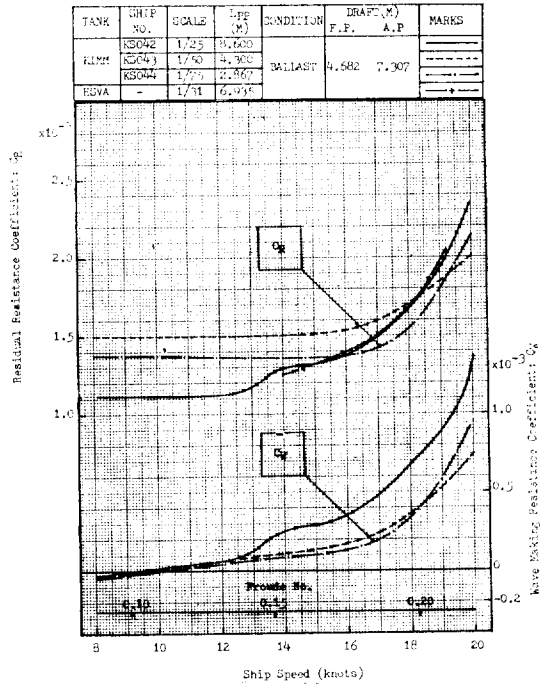


Fig. 2. Residual and Wave Making Resistance Coefficients for Ballast Condition

으로 Fairing하였다. 그 과정은 횡축 (F_n^n/C_{FM}) 에서 n 값을 2.0으로부터 8.0까지 0.25간격으로 바꾸어가며 수행하여 표준편차가 가장 작은 경우 횡축이 零 일때의 종축 값이 $(1+k)$ 가 된다. 그 계산결과는 Table 3과 같다. 이 표에는 Prohaska 방법[2] ($n=4$ 로 고정시켜서 계산)에 의한 결과도 함께 수록되어 있다. Table 4는 1/25 모형선의 Ballast 상태의 저항시험 해석결과를 형상영향계수의 계산 과정과 함께 보여주고 있다.

Fig. 1의 Full Load 상태에서 C_R 을 비교해보면, 1/25 모형선과 1/50 모형선은 Froude수가 0.15 이상에서는 거의 비슷한 값을 보여주고 있으나 Froude수가 0.15 이하에서는 1/50 모형선이 비교적 큰 값을 보여주고 있다. 따라서 k 는 비슷한 값을 가지게 되나 C_W 는 큰 차이를 보여 주고 있다. 한편 1/75 모형선의 경우엔 C_R 값이 다른 모형선에 비해 모든 속도 범위에서 전반적으로 큰 값을 가지며 따라서 k 가 크게 나타나지만 C_W 는 그다지 큰 차이를 보이지 않고 있다.

Fig. 2의 Ballast 상태의 C_R 을 보면 Froude수가 0.15 이하에서 1/25 모형선의 C_R 이 급격히 작아지고 있으며, 1/50 모형선과 1/75 모형선의 C_R 은 전체속도 범위에서 거의 일정한 차이를 두고 평행하게 나타나고 있다.

한편 HSVA 저항시험 결과는 Full Load, Ballast 상

때 공히 SRS-KIMM의 1/25 모형시험 결과와 비슷한 값을 보여주고 있다.

이상의 결과들로부터 다음과 같은 결론을 내릴 수 있다.

(i) Hughes 해석법의 중요과정인 형상영향계수 k 의 추정에 있어서 1981 ITTC 방법은 Froude수의 하한선 부근의 값이 큰 영향을 미치므로 모형선의 임계 레이놀드數 등을 고려하여 해석자의 판단에 의해 Froude수의 하한선을 적당히 택하여 계산하여야 하겠다.

(ii) 본 저항시험에 의한 C_W 와 C_R 값의 경향 만으로는 Hughes 해석방법이 Froude 해석방법보다 저항성분의 분리면에서 우수하다고 단언하기는 어렵다.

3.2. 프로펠러 單獨性能 해석

프로펠러 단독성능 곡선은 Fig. 3과 같다. 여기에는 1/25, 1/50모형프로펠러에 대한 단독성능 곡선이 실선 프로펠러에 대한 단독성능곡선과 함께 도시되어있다. 이 실선 프로펠러 단독곡선은 다음과 같이 구하였다.

Open Water에서의 추력 및 토크계수는 각각 다음과 같다.

$$K_{OTs} = K_{OTM} - \Delta K_{OT} \tag{2}$$

$$K_{OQs} = K_{OQM} - \Delta K_{OQ} \tag{3}$$

여기서 ΔK_{OT} 와 ΔK_{OQ} 는 각각 실선과의 척도효과를 고려한 것으로,

$$\Delta K_{OT} = -\Delta C_D \cdot 0.3 \cdot (P/D) \cdot (C \cdot Z/D) \tag{4}$$

$$\Delta K_{OQ} = \Delta C_D \cdot 0.25 \cdot (C \cdot Z/D) \tag{5}$$

또한 ΔC_D 는 모형선-실선의 抗力係數의 차이로,

$$\Delta C_D = C_{DM} - C_{DS}$$

$$C_{DS} = 2 \cdot [1 + 2 \cdot (t/c)] \cdot [1.89 + 1.62 \cdot \log(c/k_p)]^{-2.5} \tag{6}$$

$$C_{DM} = 2 \cdot [1 + 2 \cdot (t/c)] \cdot (0.044/R_{nc0}^{1/6} - A/R_{nc0}^{2/3}) \tag{7}$$

여기서 k_p 는 실선프로펠러의 표면거칠기로 $30 \times 10^{-6}m$ 를 기준으로 하였고, (t/c) 와 (P/D) 는 각각 프로펠러 0.7R에서의 두께-코드길이의 비, 피치비이다.

Oosterveld와 van Oossanen은 1972년 B-series 프로펠러를 해석하여 항력계수는 (EAR/Z) 와 (P/D) 의 영향을 받을 것을 보여주었고 그 결과에 따라 다음과 같이 A값을 계산한 바 있다.

$$A = 13.26 - (t/c) \cdot 565 - \left[\frac{492}{1 + 0.2 \cdot (P/D)^2} \right] \tag{8}$$

그러나 본 연구에서는 1978 ITTC의 추천에 따라 $A=5$ 를 적용하였다.

1/25 모형프로펠러와 1/50 모형프로펠러의 단독성능을 비교해 보면 推力계수 K_T 는 거의 비슷하나 토크계수 K_Q 는 0.0013가량 차이가 나고 있으며 이와 같은 차이는 실선의 경우로 추정된 값에서도 동일하게 나타나고 있다. 이와 같은 현상은 1/50 모형프로펠러의 레이놀드數가 임계치보다 작을때서 기인하는 불규칙한 오차라고만 볼 수는 없고, 적절한 척도효과 고려방법에 의해 규명될 수도 있다고 생각된다.

이상의 결과들로부터 다음과 같은 결론을 내릴 수 있다.

(i) 일반적으로 알려진 바와 같이 [6] 추력계수 K_T 는 척도효과를 거의 받지 않는 반면 토크계수 K_Q 는 척도효과를 크게 받고 있다.

(ii) 모형프로펠러의 임계레이놀드수에 대한 경험적인 기준들을 볼 때 [7, 8], 1/25 모형프로펠러의 값은 적절하다고 본다. 한편 1/50 모형프로펠러(적경 0.1168 m)의 값은 해석에 활용하기는 어려우며 이를 위하여는 단독성능 척도효과에 대한 연구가 선행되어야 하겠다.

3.3. 推進性能 해석

自航推進試驗의 결과해석은 저항시험, 프로펠러단독시험 결과와 함께 1957 ITTC 모형선-실선 상관곡선을 사용하여 수행하였다. Fig. 4와 Fig. 5에는 실선에 대한 각종 추진계수들이 Full Load와 Ballast 상태별로 도시되어있다. 이 해석과정을 간략히 기술하면 다음과 같다.

* 實船自航상태 (Ship Self-Propulsion Point)

* 推力一致法 (Thrust Identity)

* 척도효과: $t_s = t_M$

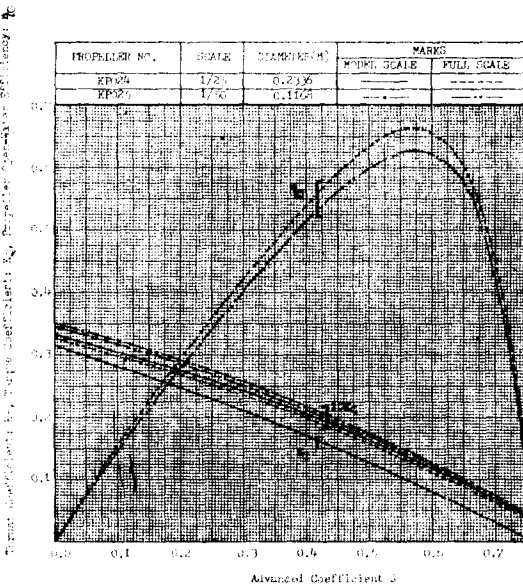


Fig. 3. Propeller Open-water Characteristic Curves

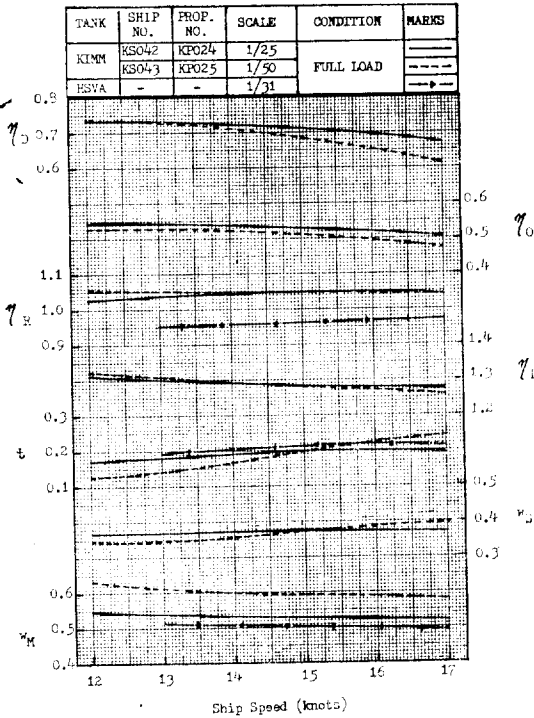


Fig. 4. Propulsive Coefficients for Full Load Condition

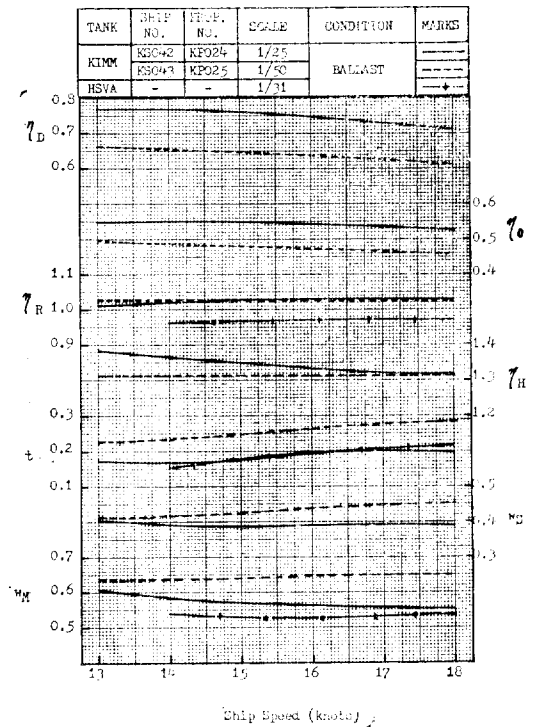


Fig. 5. Propulsive Coefficients for Ballast Condition

$$\eta_{RS} = \eta_{RM}$$

$$\eta_{OS} = \eta_{OM} : \text{식 (2)~(7) 참조}$$

$$w_{TS} = (t + 0.04) + (w_{TM} - t - 0.04) \cdot$$

$$\frac{(1+k) \cdot C_{FS} + \Delta C_F}{(1+k) \cdot C_{FMC}} \quad (9)$$

* 실선의 프로펠러 負荷는 다음과 같이 구한다.

$$\frac{K_T}{J^2} = \frac{S}{2 \cdot D_s^3} \cdot \frac{C_{TS}}{(1-t) \cdot (1-w_{TS})^2} \quad (10)$$

실선프로펠러 단독곡선으로부터 (K_T/J^2)에 대응하는 J_{TS} 와 K_{QTS} 를 각각 찾아들이 다음의 계산을 한다.

$$* n_s = \frac{(1-w_{TS}) \cdot V_s}{J_{TS} \cdot D_s} \cdot (rps) \quad (11)$$

$$* P_{DS} = 1.36 \cdot 2 \cdot \pi \cdot \rho_s \cdot D_s^5 \cdot n_s^3 \cdot \frac{K_{QTS}}{\eta_{RM}} \cdot 10^{-3} (PS) \quad (12)$$

$$* P_{ES} = 1.36 \cdot C_{TS} \cdot \frac{1}{2} \cdot \rho_s \cdot S_s \cdot V_s^3 \cdot 10^{-3} (PS) \quad (13)$$

Table 5는 1/25모형의 Ballast 상태의 추진성능을 Hughes 해석법에 의해 해석한 것이다.

Fig. 4의 Full Load상태에서의 추진계수들을 비교해 볼때 모형선 추력감소계수 t_M 은 1/25모형과 1/50모형이 거의 비슷하고 모형선 반류계수 w_M 은 차이를 보여주고 있으나 1978 ITTC 해석법으로 반류계수에 대한 척도효과를 고려해 준 결과 실선 반류계수 w_S 는 거의 비슷한 값을 가지게 되었으며 따라서 실선 선체효율 η_{NS} 는 거의 비슷하였다. 또한 상대회전효율 η_R 도 거의 비슷한 값을 보여주고 있다. Fig. 5의 Ballast상태에서의 추진계수들도 Full Load 상태의 경우와 같은 경향을 보여주고 있다.

특이할 만한 것은 상대회전효율 η_R 이 1/25모형의 경우와 1/50모형의 경우가 거의 동일하다는 점이다. 이는 Full Load와 Ballast상태 공히 나타난 현상이며 η_R 은 궁극적으로 자항추진시험시의 추력과 토크의 비이므로 자항추진시험시의 추력과 토크는 각각 정확하게 측정되었다고 추측할 수 있다. 따라서 프로펠러 단독시험시의 토크계수의 차이는 척도효과를 적절히 고려해 줌으로서 고려 될 수 있음을 알 수 있다.

한편HSVA 구조의 결과와 비교해 볼 때 모형선 추력감소계수 t_M 은 Full Load와 Ballast상태 공히 1/25 모형시험 결과와 거의 일치하고, 모형선 반류계수 w_M 은 약간의 차이를 보여주고 있으며 다른 결과들은 프로펠러가 서로 다르므로 비교에서 제외하였다.

이상의 결과들은 Fig. 6의 실선 회전수, 전달마력, 유효마력 곡선과 함께 검토하여 다음과 같은 결론을 내릴 수 있다.

Table 4. Sample Output of Powering Performance Calculation (Output EHP Using Hughes Method and Calculation of Form Factor k)

Table 4: Sample Output of Powering Performance Calculation (Output EHP Using Hughes Method and Calculation of Form Factor k). Includes sections for ship parameters, resistance calculation, and a data table for various ship speeds.

Table 5. Sample Output of Powering Performance Calculation (Output DHP Using Hughes Method)

Table 5: Sample Output of Powering Performance Calculation (Output DHP Using Hughes Method). Includes sections for ship parameters, self-propulsion resistance, and a detailed data table for ship speed, power, and propeller performance.

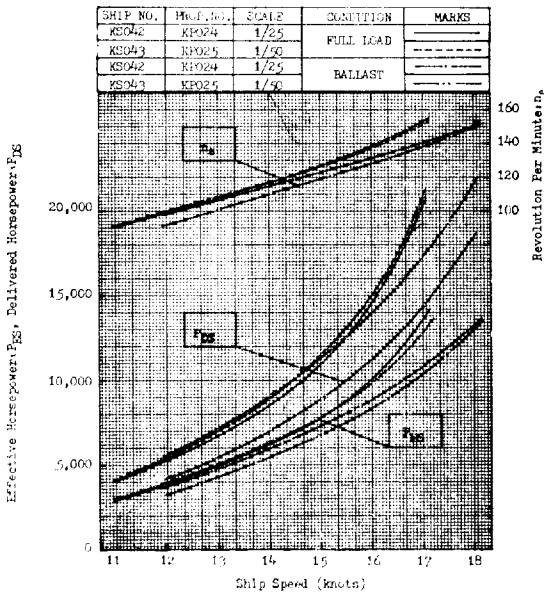


Fig. 6. Power Performance Curves

- i) 축척비의 변화에 따른 추진계수들의 차이는 Full Load 상태보다 Ballast 상태에서 더 크다.
- ii) 1/50모형의 경우가 1/25모형의 경우보다 상대적으로 Boundary Layer가 더 두꺼우므로 추력감소계수 t_m 과 반류계수 w_m 이 더 크게 나타난 것은 타당하다.
- iii) 모형선간의 반류계수 값을 비교해 볼때, 반류계수의 척도효과에는 1978 ITTC해석법에 의하여 적절히 고려할 수 있을 것으로 판단된다.
- iv) 1/50모형의 실험결과가 비록 精度는 좋지 못하나 척도효과—특히 단독효율—를 면밀히 고려할 수 있다면 실용화의 가능성도 있다고 하겠다.

4. 模型船—實船 相關解析

4.1. 速力試運轉 해석법

실선 속력시운전 결과해석은 진공상태해석과 모형선—실선 상관해석으로 나뉘는데 공기저항에 대한 수경은 Tamura[3]의 방법을 채용하였고 상관해석에는 토오르크 일치법(Torque-Identity)을 적용하였다. 조류속도는 측정하지 않았으므로 霧으로 간주하였고, 천수(Shallow Water)효과는 무시하였다.

공기저항은 R_{AA} 는 다음과 같이 계산하였다.

$$R_{AA} = \frac{1}{2} \cdot \rho_A \cdot C_x \cdot A_T \cdot K \cdot V_R^2 \quad (14)$$

이때 C_x 와 K 는 각각 모형공동시험 등에서 얻은곡선[1]에서 찾아 읽는다.

한편 프로펠러 부하계수 τ 는

$$\tau = \frac{K_T}{J^2} = \frac{T/\rho_s}{V_A^2 \cdot D^2} \quad (15)$$

공기저항 R_W 의 감소에 따른 부하계수 τ 의 감소량은,

$$\Delta\tau = \frac{R_{AA}}{\rho_s \cdot (1-t) \cdot V_A^2 \cdot D^2} = \frac{\rho_A \cdot C_x \cdot A_T \cdot K \cdot V_R^2}{2 \cdot \rho_s \cdot (1-t) \cdot V_A^2 \cdot D^2} \quad (16)$$

프로펠러가 작동하는 J 의 값은 좁은 범위이므로 프로펠러 단독곡선은 다음과 같이 나타낼 수 있다.

$$K_T = a \cdot (J_T - J) \quad (17)$$

$$K_Q = b \cdot (J_Q - J) \quad (18)$$

식 (15), (17), (18)로 부터

$$\frac{d\tau}{dJ} = \frac{a \cdot (2 \cdot J_T - J)}{J^3} \quad (19)$$

$\Delta\tau$ 의 감소에 따른 ΔJ 의 증가는 다음과 같다.

$$\Delta J = - \frac{J^3}{a \cdot (2 \cdot J_T - J')} \cdot \Delta\tau \quad (20)$$

토오르크 감소량 ΔK_{Q1} 과 회전수 감소량 Δn_1 은 같은 방법으로 다음과 같이 구한다.

$$\Delta K_{Q1} = \frac{b \cdot J'^{1/3}}{a \cdot (2 \cdot J_T - J'')} \cdot \Delta\tau \quad (21)$$

$$\Delta n_1 = \frac{V_A \cdot J''}{D \cdot a \cdot (2 \cdot J_T - J'')} \cdot \Delta\tau \quad (22)$$

여기서

$$J + \Delta J \geq J' \quad (23)$$

$$J'' \geq J \quad (24)$$

이므로 다음과 같이 간주할 수 있다.

$$J' = J'' = J + \frac{1}{2} \cdot \Delta\tau \quad (25)$$

그러나 일반적으로 필요한 것은 시운전 시의 회전수 n 을 그대로 두고 해석하는 것 이므로 식 (21), (22)를 통해 얻은 결과를 보정하여 최초의 회전수 n 에 대한 K_{Q1}' 값을 읽어 계산하도록 하였다.

$$P_{D1} = P_D \cdot \frac{K_{Q1}'}{K_Q} \quad (26)$$

$$V_1 = V_S + \Delta V_1 \quad (27)$$

이때 霧속도의 변화량 ΔV_1 은,

$$\Delta V_1 = - \frac{D \cdot n}{b \cdot (1-w)} \cdot \Delta K_{Q1} \quad (28)$$

위와같이 공기저항을 고려하여 얻은 V_S , n_s , P_{DS} 로부터 토오르크 일치법을 적용하여 다음과 같이 상관해석을 하였다.

$$K_Q = \frac{75 \cdot P_{DS}}{2 \cdot \pi \cdot \rho_s \cdot n_s^3 \cdot D_s^5} \cdot \frac{1}{(\text{NOPROP})} \quad (29)$$

$$K_{Q0} = K_Q \cdot \eta_{Rn} \quad (30)$$

여기서 (NOPROP)는 프로펠러수이다.

K_{Q0} 에 대응하는 J 와 K_T 값을 프로펠러 단독곡선에서 찾아 읽은 후 반류비 $(1-w_{qs})$ 를 다음과 같이 계

Table 6. a. Sample Output of Speed Trial Analysis (Page 1: Input Data)

```

=====
SPEED TRIAL ANALYSIS
=====
SHIP NAME: S042E155 PROP.NAME : 5/6/4,24 TRIAL DATE : 15-JUL-81
* LPP = 215.00 M * DIA = 6.000 M * COURSE : OFF ULSAL
* B = 32.200 M * PR070 = 0.7062 * DRAFT MEAN = 5.9895 M
* D = 18.000 M * EAR = 0.5900 F.P. = 4.8460 M
* N0PROP = 1 * NPB = 5 A.P. = 7.1330 M
* LGS = 223.83 M * MIO = 6.0420 M
* S = 7754.0 M2 ENGINE NAME: B4W7L67G * TEMP. WATER = 15.60 DEG.
* SBK = 0.0 M2 * MCR SHP = 15200. AIR = 26.00 DEG.
* AT = 966.0 M2 RPM = 123.00 * DENS. WATER = 1025.78 N/M3
* AL = 3010.0 M2 * NCR SHP = 13800. AIR = 1.22 N/M3
* DISV = 32914. M3 RPM = 119.00 * KIN. VISC. W=1.682 E6 M2/S

RESISTANCE AND PROPULSION MODEL TEST RESULTS SCALE RATIO = 25.00000
* VS(KNOT) 12.00 13.00 14.00 15.00 16.00 17.00 18.00
* CRM*10000 1.118 1.174 1.301 1.319 1.371 1.484 1.684
* 1-TV : 0.019 0.026 0.052 0.028 0.007 0.797 0.603
* 1-W : 0.354 0.301 0.404 0.420 0.430 0.435 0.439
* ETARM : 1.096 1.015 1.022 1.027 1.030 1.031 1.030

PROPELLER OPEN-WATER CHARACTERISTICS AT FULL SCALE
* J : 0.200 0.250 0.300 0.350 0.400 0.450 0.500 0.550 0.600
* T/S : 0.253 0.236 0.218 0.200 0.179 0.158 0.136 0.113 0.089
* K05*10 : 0.281 0.267 0.251 0.234 0.215 0.195 0.174 0.144 0.113

DELCFD=(C10-CRD)/(S+SHK)/S)-(1.0+L3)*CF5 CS= 0.00000

SPEED TRIAL RESULTS
-----
RUN LOAD RUNNING SHIP RATE SHAFT WIND WIND CURRENT INNING
NO. -ING DIRECT SPEED REVS POWER DIR. SPEED SPEED INNING
( ) (DEG) (KNOT) (RPM) (HP) (DEG) (M/S) (KNOT)
-----
1 0.50 202 13.490 101.18 7762. P 25. 17.000 0.000 14:30
2 0.50 62 14.650 101.69 7895. S103. 4.000 0.000 15:16
3 0.75 62 16.740 119.16 11323. S 77. 9.000 0.000 15:43
4 0.75 242 14.800 114.94 11429. P 30. 17.500 0.000 16:17
5 0.90 242 15.900 120.96 13229. P 22. 19.500 0.000 16:46
6 0.90 62 16.930 121.21 13288. S103. 5.500 0.000 17:22
7 1.00 62 18.110 124.50 14922. S 90. 8.000 0.000 17:49
8 1.00 242 16.070 126.58 14988. P 17. 18.000 0.000 18:43
    
```

Table 6. b. Sample Output of Speed Trial Analysis (Page 2: Output Data)

```

SHIP NAME: S042E155 PROP.NAME : 5/6/4,24 TRIAL DATE : 15-JUL-81
* LPP = 215.00 M * DIA = 6.000 M * COURSE : OFF ULSAL

CORRECTION TO VACUUM CONDITION CX= 0.72110
-----
RUN PDS KGS JQS KV DELRV 1-TV DELJV KQV KQFV PDA VSV
NO. (HP) *10 *10 (KN) (KN) (HP) (KNOT)
-----
1 7537. 0.231 0.359 1.18 144.7 0.842 0.031 2191. 2255. 7368. 14.662
2 7659. 0.231 0.350-0.01 -0.1 0.833 0.000 2309. 2259. 7495. 14.649
3 11067. 0.230 0.361 0.29 9.9 0.800 0.002 2291. 2283 11000. 16.821
4 11175. 0.233 0.352 1.20 156.2 0.831 0.026 2237. 2284 10940. 15.804
5 12960. 0.232 0.355 1.15 195.2 0.812 0.029 2215. 2263 12634. 17.180
6 13018. 0.232 0.356-0.01 -0.1 0.798 0.000 2317. 2262 12707. 16.929
7 14640. 0.229 0.364 0.15 4.1 0.804 0.001 2286. 2243 14353. 18.140
8 14706. 0.230 0.361 1.08 149.1 0.809 0.022 2219. 2243 14393. 17.029

CORRECTION TO STANDARD CONDITION
-----
RUN VSV-U NS JQC KA DELHA 1-TA DELJA KQA KQFA PDA VSA
NO. (KNOT)(RPM) (KN) (KN)
-----
1 14.662 107.73 0.372 1.00 -24.2 0.833-0.006 2275. 2274 7444. 14.427
2 14.649 100.17 0.371 1.00 -24.1 0.834-0.005 2280. 2274 7560. 14.435
3 16.821 113.89 0.365 1.00 -31.8 0.799-0.006 2304. 2291 11039. 16.587
4 15.884 121.17 0.365 1.00 -24.4 0.812-0.005 2302. 2291 10976. 15.851
5 17.180 124.13 0.370 1.00 -33.2 0.797-0.004 2293. 2288 12777. 16.906
6 16.929 119.44 0.371 1.00 -32.2 0.798-0.005 2282. 2288 12855. 16.606
7 18.140 124.85 0.376 1.00 -37.0 0.805-0.006 2264. 2279 14581. 17.066
8 17.029 131.99 0.376 1.00 -32.6 0.797-0.005 2262. 2280 0. 0.000

MODEL-SHIP CORRELATION ANALYSIS CONDITION: NO-A1
-----
RUN VSD ETAR JQD 1-WM EI KTD 1-TM PED CTD CR DELCFD
NO. *E3 *E3 *E3
-----
1 14.662 1.025 0.357 0.479 1.156 1.1970 0.833 6365. 2.744 1.302 -0.021
2 14.649 1.025 0.356 0.481 1.159 1.1975 0.834 6441. 2.784 1.302 0.019
3 16.821 1.031 0.346 0.460 1.058 2.016 0.799 9279. 2.649 1.462 -0.252
4 15.884 1.030 0.347 0.488 1.137 2.014 0.812 8862. 3.004 1.370 0.186
5 17.180 1.031 0.352 0.482 1.103 1.993 0.797 10306. 2.762 1.514 -0.188
6 16.929 1.031 0.352 0.490 1.125 1.992 0.798 10209. 2.859 1.477 -0.056
7 18.140 1.030 0.350 0.486 1.107 1.967 0.805 11889. 2.706 1.718 -0.437
8 17.029 1.031 0.357 0.516 1.183 1.971 0.797 11075. 3.047 1.491 0.119
    
```


산한다.

$$(1-w_{QS}) = \frac{J \cdot n_s \cdot D}{V_s} \quad (31)$$

伴流修正계수 e_i 는 식(31)결과와 모형시험시 반류비의 比로서,

$$e_i = \frac{(1-w_{QS})}{(1-w_{TM})} \quad (32)$$

실선의 유효마력과 전저항계수는,

$$P_E = \frac{1}{75} \cdot \rho_s \cdot D_s^5 \cdot V_s \cdot n_s^3 \cdot K_T \cdot (1-t_M) \quad (33)$$

$$C_{TS} = \frac{75 \cdot 2}{\rho_s \cdot S_S \cdot V_S^3} \cdot P_E \quad (34)$$

모형시험 결과로부터 조차저항계수 C_W 와 형상영향 계수 k 를 읽고 다음과 같이 모형선—실선 상관수정계수 ΔC_F 를 구한다.

$$\Delta C_F = C_{TS} - C_{FS} \cdot (1+k) - C_W \quad (35)$$

4.2. 模型船—實船 相關關係

실선의 프로펠러 단독곡선을 추정함에 있어서 60A 선박의 경우에는 모형 프로펠러 단독곡선에 식(2)~(7)의 방법으로 척도효과를 고려하여 수정한 것을 사용하였고 프로펠러가 모형과는 다른 60B, 60C 선박과 60D,

60E 선박의 경우엔 MAU Series Chart에서 60A船舶과의 차이를 각각 찾아서 60A船舶의 시험결과를 기준하여 각각 더해 주었다.

Tables 6. a와 6. b는 60A船舶의 시운전 해석결과를 보여주고 있다.

Fig. 7은 실선시운전 결과에서 공기저항(바람 저항 포함)으로 인한 영향을 배준 眞空상태에서의 전달마력을 각 선박별로 도시하고있다. 이때 풍향 및 풍속은 Compass Deck 위의 Anemometer(수면으로부터의 높이 : 35m)로 계측한 값이 전체부분에 동일하게 작용한다고 가정하였고 조류속도는 알 수 없었으므로 각 부하상태 별로 두개의 속력과 전달마력 등을 각각 평균하여 도시하였다. 여기에는 SRS-KIMM 수조의 1/25 모형시험으로부터 추정된 전달마력과 회전수도 함께 도시되어 있는데 프로펠러가 동일한 60A船舶과는 좋은 인지를 보였주고 있다. 여기서 전달마력 값이 회전수 값보다 분산되어있는 것은 그만큼 계측오차가 큰데 기인함을 뜻한다.

Fig. 8은 모형선—실선 상관해석에 모형선의 C_{RM} , t_M , w_M , η_{RM} 값으로 SRS-KIMM 수조의 1/25 모형시험 결과를 적용하여 계산된 모형선—실선 相關修正계수 C_A 를 각 선박별 평균치로 비교하고 있다. 여기에서 직선으로 표시한 $C_A = -0.00005$ 는 모형시험 결과해석을 위해 사용했던 값으로 60C와 60E 선박과는 비슷한 값이지만 다른 선박들과는 큰 차이를 보이고 있다. Fig. 9는 같은 방법으로 계산된 伴流修正계수 e_i 를 각 선박별 평균치로 비교하고 있다. 이와같이 전달마력과 회전수는 Fig. 7에서 보듯이 정확한데 비해 C_A 와 e_i 가 각각 정확하지 않은 것은 주로 실선 속력시운전해석에서는 모형시험해석과는 달리 토오크 일치법을 사용하며 이때 사용되는 실선 프로펠러 단독성능곡선은 시험에서 얻은 실제 값이 아니고 추정치이므로 이에 대한 오차라고 생각된다. 한편 속력시운전시 파랑 및 선각표면

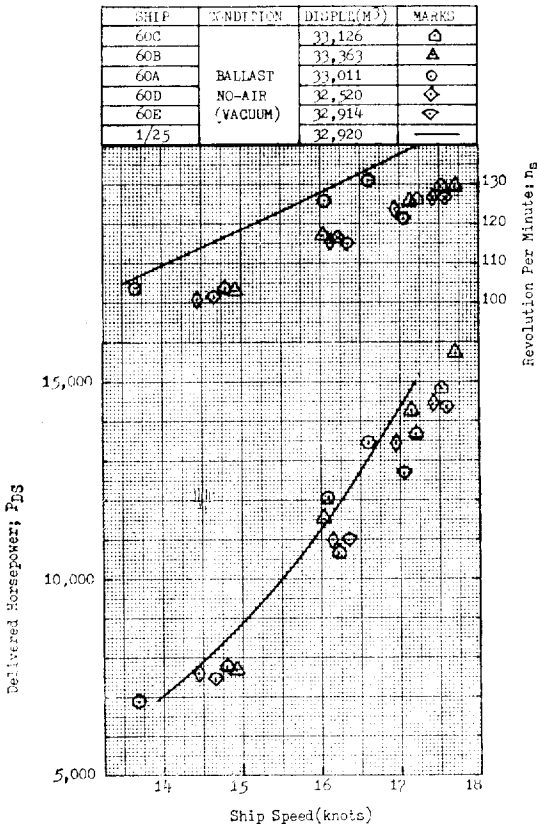


Fig. 7. Speed Trial Analysis Results

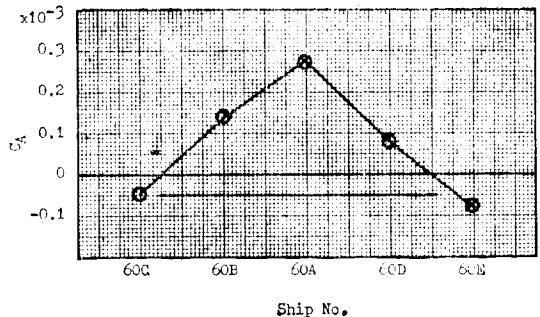


Fig. 8. Correlation Allowance C_A by Speed Trial Results

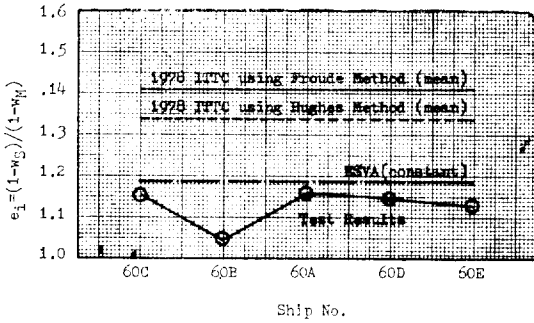


Fig. 9. Wake Correction Factor e_1 by Speed Trial Results

조도에 의한 선체저항의 증가와 속력시운전 결과해석 방법의 오차 그리고 속력시운전의 계측오차 등도 포함되어 있다고 볼 수 있다.

5. 後 記

본 연구는 1981년도 과학기술처 출연연구과제로서 수행되었으며 이 과제의 수행을 위해 애쓰신 SRS-KIMM의 여러분께 감사드리고 관련자료를 제공해 주신 現代重工業(株)의 朴承均 常務와 基本設計部 研究開發팀에게 감사사를 드린다.

參 考 文 獻

[1] 梁承一, 李昶燮, 金恩燦 外, “實船의 推進性能解

析技法에 關한 研究”, 韓國機械研究所 研究報告書 UCN 105-179·D, 1982年 2月.

[2] C.W. Prohaska, “A Simple Method for the Evaluation of the Form Factor and the Low Speed Wave Resistance”, Written Contribution to the Resistance Committee Report, 11th ITTC, Tokyo, 1966.

[3] K. Tamura and K. Taniguchi, “On the New Method of Correlation for Wind Resistance Relating to the Analysis of Speed Trial Results”, Appendix 11 to the Performance Session, 11th ITTC, Tokyo, 1966.

[4] “Report of the Performance Committee”, Proceedings of 15th ITTC, Hague, 1978.

[5] “Report of the Performance Committee”, Proceedings of 16th ITTC, Leningrad, 1981.

[6] A. Jonk and J. van de Beek, “Investigations into the Effect of Model Scale on the Performance of Two Geosim Ship Models, Part 1: Flow Behaviour and Performance in Colm Water”, Netherland Maritime Institute, Monograph M19, 1977.

[7] 梁承一, 金恩燦 外, “深水大型水槽에서의 模型試驗을 위한 豫備調査에 關한 研究”, 韓國船舶研究所 研究報告書 UCE 31-45, 78, 1978년 4월.

[8] 田村欣也, “實船과 模型船의 相關”, 肥大船의 推進性能에 關한 Symposium, 日本造船學會, 1975.